

## مقایسه‌ی سمیت سلولی آکریل‌های خودسخت شونده‌ی (Self cure) ایرانی و خارجی و اثر آنها بر القای تولید اینترلوکین-۶ (IL-6) به وسیله‌ی فیبروبلاست‌های L-929 موش

**مینو مهشید\***، **ماندانا ستاری \*\***، **مهسا مهدی‌زاده دستجردی \*\*\***

\*دانشیار گروه آموزشی پرتوز ثابت، دانشکده‌ی دندانپزشکی، دانشگاه علوم پزشکی و خدمات بهداشتی درمانی شهید بهشتی

\*\*دانشیار گروه آموزشی ایمونولوژی، دانشکده‌ی پزشکی، دانشگاه علوم پزشکی و خدمات بهداشتی درمانی شهید بهشتی

\*\*\*دانانپزشک

### چکیده

**بیان مساله:** ویژگی‌های زیست‌شناسخی رزین‌ها به شدت از واکنش مونومر-پلی‌مر اثر می‌پذیرد. با وجود روش‌های گوناگون مورد استفاده برای آغاز پلیمریزاسیون، این واکنش هیچ‌گاه کامل انجام نمی‌شود و مقداری مونومر واکنش نیافته در پلی‌مر بر جا می‌ماند، که در براق حل می‌شود. موادی که از رزین نشست می‌یابد می‌تواند به واکنش‌های ناسازگار در مخاط دهان منجر شود.  
**هدف:** هدف از این بررسی مقایسه‌ی سمیت سلولی آکریل‌های خودسخت شونده‌ی (self cure) ایرانی و خارجی و اثر آنها بر القای تولید اینترلوکین-۶ به وسیله‌ی فیبروبلاست‌های L-929 موش بوده است.

**مواد و روش:** آکریل‌های مورد بررسی در این پژوهش عبارت بودند از: آکریل تریم (پلی‌وینیل اتیل متاکریلات)، آکریل دورالی (پلی‌متیل متاکریلات) و آکریل آکرپارس (پلی‌متیل متاکریلات). آکریل‌ها به شکل حلقه‌هایی با ابعاد مشخص فراهم شدند. شمار حلقه‌های آکریلی ۳۰ عدد از هر گونه (روی هم رفته ۹۰ عدد) بود. محلول به دست آمده از فیبروبلاست‌ها را به همراه حلقه‌های آکریلی در پلیت‌های کشت سلول ۲۴ خانه‌ای قرار داده و بر روی آنها، محیط کشت شامل محیط RPMI-1640 به همراه پادزیست (آنتی‌بیوتیک) و FBS%10 درصد افزوده شد. پلیت‌های کشت در انکوباتور CO<sub>2</sub> قرار داده شده و پس از گذشت یک ساعت، ۲۴ ساعت و هفت روز بررسی شدند. در پایان، با استفاده از آزمون MTT و روش ELISA، سمیت سلولی آکریل‌های مورد آزمایش و اثر القایی آنها بر تولید IL-6 بررسی گردید. برای واکاوی داده‌ها از آزمون‌های واریانس دوسری (two way ANOVA)، کروسکال والیس (Kruskal-wallis) و مان ویتنی (Mann-Whitney U) استفاده شد.

**یافته‌ها:** به لحاظ سازگاری زیستی اختلافی معنادار میان سه آکریل مورد بررسی دیده شد، که این اختلاف، در هر سه زمان مورد نظر، روندی یکسان نشان می‌داد. به گونه‌ای که، میان آکریل‌های تریم و دورالی با <0.۰۵> میان دورالی و آکرپارس با <0.۰۱> p و میان تریم و آکرپارس با <0.۰۱> p اختلاف معنادار آماری وجود داشت، ولی تفاوتی معنادار به لحاظ تولید IL-6 در میان سه آکریل بالا، مشاهده نگردید (p=0.۱۲۰). کمترین سمیت سلولی در زمان ۲۴ ساعت دیده شد، که اختلاف آماری معنادار با زمان‌های یک ساعت و یک هفته داشت (p<0.۰۰۱).

**نتیجه‌گیری:** آکریل‌های دارای متیل متاکریلات (دورالی و آکرپارس) اثرات سمی بیشتر را بر روی فیبروبلاست‌ها بجا می‌گذارند، که البته اثر سمی آکرپارس، به مرتبه بیشتر از دورالی بود. کمترین سمیت سلولی درباره تریم دیده شد، که دارای وینیل اتیل متاکریلات است. اما درباره تولید IL-6، هیچ تفاوتی میان سه آکریل مورد بررسی وجود نداشت.

**وازگان کلیدی:** سمیت سلولی، آکریل‌های خودسخت شونده، تولید اینترلوکین-۶ (IL-6)، فیبروبلاست‌های L-929 موش

تاریخ دریافت مقاله: ۱۴/۱۲/۸۵

تاریخ پذیرش مقاله: ۱۴/۱۰/۸۵

مجله دندانپزشکی دانشگاه علوم پزشکی شیراز، سال هفتم؛ شماره ۳ و ۴، ۱۳۸۵ صفحه‌ی ۶۳ تا ۷۴

\*نویسنده مسؤول مکاتبات: مینو مهشید. تهران- خیابان اوین- بلوار دانشجو- دانشکده‌ی دندانپزشکی دانشگاه علوم پزشکی شهید

بهشتی- گروه آموزشی پرتوز ثابت. تلفن ۰۱۰- ۲۲۴۰۳۰۱۰ . psmahshid@yahoo.com

**مقدمه**

یکی از مهم‌ترین مسایل در روند درمان بیماران از سوی پروتزهای دندانی، انتخاب مواد دندانی با ویژگی زیست شناختی مناسب در محیط دهان است تا از وارد آمدن آسیب به ساختارهای دندانی (مانند پالپ) و مخاط دهان (بافت‌های لثه و دندان و بافت‌های نرم دهان) پیشگیری گردد<sup>(۱)</sup>. پلیمرهای آکریلی از موادی هستند، که در بازسازی دندان‌ها و ساخت پروتزهای دندانی دارای کاربردهای متفاوت هستند<sup>(۲)</sup>. هرچند، که در برای اثرات زیست‌شناختی آکریل هابر روی پالپ دندان بررسی‌های گوناگون انجام شده است<sup>(۳-۹)</sup>، ولی بیشتر بررسی‌های انجام شده در زمینه‌ی اثر آکریل‌های بافت‌های پیرامون دندان در محیط دهان بر روی بیس رزینی پروتزهای کامل (denture base resin) و مواد کامپوزیت رزینی ترمیمی متوجه است<sup>(۱۰-۱۶)</sup>.

یکی از موارد کاربرد پلیمرهای آکریلی در ساخت روش‌های موقت است، که گاهی مدتی زیاد در دهان برجا می‌مانند. انواع رزین آکریلیک مورد استفاده در ساخت ترمیم‌های موقت عبارت هستند از: پلی‌متیل‌متاکریلات، پلی‌اتیل‌متاکریلات، پلی‌وینیل‌متاکریلات و رزین کامپوزیت‌های سخت‌شونده با نور مریسی<sup>(۱۱-۱۴)</sup>. فعال شدن آغاز کننده در روند پلی‌مریزاسیون آکریل‌های می‌تواند با گرما، مواد شیمیایی، نور مریسی یا پرتوهای الکترومغناطیسی انجام گیرد<sup>(۱۷)</sup>.

رزین‌های فعال شونده با مواد شیمیایی را بیشتر با عنوان رزین‌های سرما سخت (cold cure)، خودسخت شونده (self cure) یا خود پلی‌مریزان می‌نامند<sup>(۱۵-۱۶)</sup>. پلی‌مریزاسیون در این رزین‌ها هرگز به طور کامل انجام نمی‌شود و این امر باعث ایجاد خواص مکانیکی پایین‌تر و به خطر افتادن سازگاری بافتی آنها می‌شود<sup>(۱۸-۱۱)</sup>. مونومر برجامانده ی متیل‌متاکریلات یا دیگر اجزای آزاد شده، مانند فرمالدئید، متیل‌متاکریلات، متاکریلیک اسید و اسید بنزوئیک، پس از حل در بزاق سبب بروز تحریک و التهاب در مخاط و یا واکنش حساسیتی می‌شوند. کراون موقت آماده شده با روش شیمیایی متیل‌متاکریلات دارای مونومر برجا مانده‌ی

کافی برای ایجاد واکنش حساسیتی در بیمار حساس به متیل‌متاکریلات است<sup>(۱۹-۳۱)</sup>. میزان اثرات آسیب شناختی این آکریل‌ها به راه‌های ورود آنها به بدن و میزان گسترش آنها در محیط بستگی دارد<sup>(۳۲)</sup>. آن دسته از مواد مصرفی در دندانپزشکی، که آنتی‌ریزیک هستند، می‌توانند باعث واکنش افزایش حساسیت در مخاط دهان و لثه شوند<sup>(۳۳)</sup>.

سازگاری زیستی، توانایی یک ماده را برای ایجاد پاسخ زیستی مناسب به هنگام کاربرد مشخص در بدن نشان می‌دهد. محیط بر سازگاری زیستی اثر دو سویه دارد. چنانچه میزبان، کاربرد ماده یا خود ماده تعویض گردد، پاسخ زیستی دگرگون می‌شود<sup>(۳۴)</sup>.

گوناگونی در ترکیبات شیمیایی و خلوص ساختارهای رزینی تجاری، درجه‌ی تبدیل مونومرهای تشکیل‌دهنده‌ی آنها و متغیرهای کارکرد همگی ممکن است بر روی ویژگی‌های فیزیکی و زیست‌شناختی (سازگاری بافتی) یا سمیت (toxicity) رزین‌ها اثرگذار باشد<sup>(۲۲-۳۱ و ۳۵-۴۲)</sup>.

آزمایش‌هایی، که برای ارزیابی سمیت مواد به کار می‌روند، به دو گروه اصلی بخش می‌شوند: گروهی از آنها با شمارش سلول‌ها و یا رشد آنها پس از تماس با ماده طراحی شده‌اند<sup>(۳۵)</sup> و گروهی دیگر، از این آزمایش‌ها، با بررسی تغییر در نفوذپذیری غشاء سلول‌ها، سمیت را ارزیابی می‌کنند<sup>(۳۷)</sup>. همچنین، می‌توان به ارزیابی این مواد از لحاظ القای تولید و ترشح سایتوکاین‌های التهابی، مانند IL-6 پرداخت، که برای این منظور، در مایع رویی کشت این سلول‌ها می‌توان Enzyme Linked Immuno-Sorbent Assay (ELISA) به جست و جوی سایتوکاین‌التهابی اقدام کرد.

لوفبور (Lefebvre) و همکاران<sup>(۱۹۹۴)</sup> با مقایسه‌ی سازگاری بافتی ساختار رزینی سخت‌شونده با نور (light cure) و دو جور سخت‌شونده (dual cure) بر روی سلول‌های دهان به این نتیجه رسیدند، که رزین دنچر بیس‌های (denture base) سخت‌شونده با نور نسبت به رزین‌های دوجور سخت‌شونده سمیت بیشتر دارند<sup>(۱۱)</sup>.

شمار نمونه‌ها برای هر گروه برپایه‌ی شمار نمونه‌ها در بررسی‌های انجام شده و با توجه به هزینه‌ی لازم برای خریداری فیبروبلاست ۱۰ نمونه انتخاب گردید، که برای هر گروه (آکریل آکرودیسیک، آکریل تریم، آکریل دورالی، شاهد منفی و شاهد مثبت) و در هر زمان مورد بررسی (پس از یک ساعت و پس از ۲۴ ساعت و پس از هفت روز) این شمار برابر ۱۰ بوده است. بنابراین، کل نمونه‌های مورد بررسی ۹۰ نمونه بود. آکریل‌های مورد مطالعه در این پژوهش شامل سه آکریل بودند: آکریل آکرودیسیک (شرکت مارلیک، ایران)، پلی متیل متاکریلات، آکریل دورالی (شرکت Reliance Dental Amerika)، پلی متیل متاکریلات، آکریل تریم (شرکت Bosworth Amerika)، پلی وینیل اتیل متاکریلات.

آکریل‌ها به صورت حلقه‌هایی توانندی به قطر بیرونی ۵/۵ میلی‌متر، قطر داخلی ۲/۵ میلی‌متر، ضخامت ۱/۵ میلی‌متر و ارتفاع دو میلی‌متر فراهم شوند. علت انتخاب این طرح از آکریل‌ها، به دلیل همانندی نسبی با نمای مارجین (margin) روکش بوده است. فراهم کردن نمونه‌های آکریلی به روش زیر انجام گرفت:

در آغاز، دو عدد اسلب شیشه‌ای در فاصله‌ی دو میلی‌متری از هم پیچ شد. سپس، پوتی و واش با هم آمیخته شده و در میان صفحه‌های شیشه‌ای در زیر فشار قرار گرفت. به این ترتیب، صفحه‌ای از پوتی به ضخامت دو میلی‌متر به دست آمد، که در آن به کمک لوله‌ای تو خالی به قطر ۵/۵ میلی‌متر سوراخ‌های دایره‌ای شکل ایجاد گردید. در حالی که، پوتی یاد شده بر روی یکی از صفحات شیشه‌ای قرار گرفته بود، پودر و مایع با نسبت درست، که در بروشور آکریل‌های مورد نظر گفته شده بود، در یک گوده مخلوط شده و از آنجا به سوراخ‌های تعییه شده در پوتی منتقل گردید و اسلب دوم بر روی پوتی دارای آکریل قرار گرفت. به این صورت، پس از گذشت زمان سخت شدن (setting) آکریل‌ها، دیسک‌های آکریلی به قطر ۵/۵ و ارتفاع دو میلی‌متر به دست آمد. سپس، به کمک فرز روند توربین، که قطری در حدود ۲/۵ میلی‌متر دارد، به سوراخ کردن مرکز دیسک‌های آکریلی اقدام گردید و در پایان حلقه‌هایی

آدامز (Adams) و همکاران (1994)، گزارش کردند، که اگر سلول‌های بیشتر از ۲۴ ساعت در برابر کامپوزیت رزین‌ها قرار گیرند، سمیت شدیدتر نشان می‌دهند.

ویلیرشاوسن (Wilier Shausen) و همکاران (1999) با بررسی سمیت مواد ترمیمی با پایه‌ی رزینی بر روی فیبروبلاست‌های لثه‌ی انسان، رشد و حیات و محتوای پروتئینی را بررسی و کاهش کارکرد سلولی مرتبط با مواد با پایه‌ی رزینی را مشاهده کردند<sup>(۱۴)</sup>.

در پژوهش هونگ (Haung) و همکاران (2001) بر روی سلول‌های اپی تلیال دهان نیز، سمیت آکریل‌های خودسخت شونده به مراتب بالاتر از آکریل‌های سخت شونده با نور و یا دما گزارش شد. برپایه‌ی نتایج این پژوهش، بیشترین میزان سمیت در ۲۴ ساعت نخست و کاهش آن تا روز پنجم گزارش گردید<sup>(۱۵)</sup>.

با توجه به شیوع ناسازگاری زیستی در مواد دندانی و با توجه به محدود بودن بررسی‌های انجام شده در زمینه‌ی سمیت پلی‌مرهای آکریلی به رزین‌های دنچر و کامپوزیت رزین‌های ترمیمی بر روی فیبروبلاست‌ها و اهمیت بررسی سمیت روکش‌های موقت، این بررسی با هدف مقایسه سمیت سلولی آکریل‌های خودسخت شونده‌ی self cure (ایرانی و خارجی) و اثر آنها بر القای تولید اینترلوکین-۶ بوسیله فیبروبلاست‌های رده‌ی L929 موش انجام پذیرفت. دلیل انتخاب فیبروبلاست، دارا بودن بالاترین فراوانی در میان سلول‌های بافت همبند است، ضمن آن که، این سلول می‌تواند ماتریکس بافت همبند (مانند کلژن) را نیز، تولید کند.

## مواد و روش

روش اجرای پژوهش، تجربی و به صورت آزمایشگاهی و شیوه‌ی گردآوری اطلاعات برپایه‌ی مشاهده‌ی نتایج آزمایش‌ها و تکمیل برگه‌ی اطلاعاتی بوده است.

گروه مورد بررسی، شامل رده‌ی L929 فیبروبلاست لثه‌ی موش بود، که از انسستیتو پاستور فراهم گردید.

فوری)، سی عدد پس از گذشت ۲۴ ساعت (برای بررسی آثار التهابی حاد) و ۳۰ عدد دیگر پس از گذشت هفت روز (برای بررسی آثار مزمن یا دیررس) بررسی گردیدند و آزمون MTT 3-(4,5-dimethylthiazole-2-yl)-2,5-diphenyltetrazolium bromide روی آنها انجام شد.

برای انجام آزمون MTT، پس از گذشت مدت زمان مورد نظر (یک ساعت، ۲۴ ساعت و هفت روز)، ۱۰۰ میکرولیتر محلول MTT (ساخت شرکت Sigma امریکا فراهم شده از شرکت طب وران) آماده به حفره‌های میکروپلیت ۲۴ خانه افزوده گردید. میکروپلیت به مدت چهار ساعت در درون انکوباتور ۳۷ درجه‌ی سانتی گراد قرار گرفته و پس از پایان این مدت، چنانچه سلول‌ها به احیای MTT توانا بودند، فورمازان تولید کرده، که رنگ محیط را عوض می‌کرد و به صورت تیره به نظر می‌رسید. سپس، میکروپلیت از انکوباتور بیرون آورده شده و ۲۰۰ میکرولیتر محلول آماده‌ی اسید-الکل (اسید کلریدریک و ایزوپروپانول) به هر حفره افزوده می‌شد. در پایان، پلیت با دستگاه ELISA Reader (استرالیا، ۲۰۲۰ Anthous) خوانده می‌شد.

گروه شاهد منفی در بردازندۀ ی بر آن دسته از چاهک‌های پلیت بود، که بی‌هرگونه حلقه‌ی آکریلی اما دارای فیبروبلاست و محیط کشت RPMI-1640 بودند. به عنوان شاهد مثبت، برای انجام آزمایش سمیت، به اثر دادن آب مقطر ستون بر روی فیبروبلاست اقدام می‌گردید. از آنجا که، آب مقطر هیچ یونی ندارد، تعادل اسمزی سلول را به هم می‌زند و انتظار نابودی ۱۰۰ درصد سلول‌ها به دنبال مجاورت با آن وجود داشت.

برای سنجش سایتوکاین، میکروپلیت‌های جدأگانه اختصاص داده شد، که هرمیکروپلیت دارای ۱۰ حلقه‌ی آکریلی از هر گونه (روی هم رفته ۳۰ حلقه) بود، که به مدت ۲۴ ساعت در محیط انکوباتور قرار گرفته و پس از آن، برای اندازه‌گیری IL-6 در مایع رویی کشت سلول‌ها بر پایه‌ی دستورالعمل کیت مربوطه (کیت اندازه‌گیری IL-6 Bendermed SYS به روش ELISA).

با ابعاد مورد نظر (قطر بیرونی ۵/۵، قطر درونی ۲/۵، ضخامت ۱/۵ و ارتفاع دو میلی‌متر) ایجاد شد.

برای سترون کردن، نمونه‌ها در زیر تابش پرتو گاما در سازمان انرژی اتمی قرار گرفتند. به هر یک از نمونه‌ها یک رمز داده شد تا عمل کننده و نیز مشاهده کننده، به تورش (bias) چهار نشوند. برای کشت سلول، در آغاز به پاساز دادن فیبروبلاست‌های L929 موش (فراهم شده از استیتو پاستور) در فلاسک‌های کشت اقدام گردید. پاساز دادن، به معنای تکثیر فیبروبلاست و تعویض محیط کشت است.

پس از این که، سلول به اندازه‌ی کافی به کف فلاسک چسبید و رشد کرد، به کمک محلول تریپسین (EDTA) (ساخت شرکت Gibco اسکاتلندر فراهم شده از شرکت طب وران) سلول‌ها از کف فلاسک جدا شده و به میزان  $^{5} \times 10^5$  سلول در درون حفره‌های پلیت‌های ۲۴ خانه‌ای قرار گرفتند، به گونه‌ای، که ۱/۰ میلی لیتر سلول و ۰/۹ میلی لیتر محیط کشت RPMI در حفره‌ها ریخته شد. این در حالی است، که در درون هر یک از حفره‌ها، یک حلقه‌ی آکریلی قرار گرفته بود.

گفتنی است، که شماری از سلول‌های یاد شده با محلول تریپان بلو (به عنوان رنگ حیاتی) مجاور شده و در زیر میکروسکوپ معمولی با درشت‌نمایی ۴۰، حیات سلول بررسی می‌شد، اگر درصد سلول‌های زنده بیشتر از ۹۰ درصد بود، به بررسی سمیت سلولی اقدام می‌گردید. محلول به دست آمده از فیبروبلاست‌ها را در پلیت‌های کشت سلول ۲۴ خانه‌ای قرار داده و بر روی Gibco RPMI-1640 (ساخت شرکت اسکاتلندر فراهم شده از شرکت طب وران) به همراه پادزیست (استرپتومایسین و پنی‌سیلین) و ۱۰ FBS درصد (سرم جنین گوساله) (ساخت شرکت Gibco اسکاتلندر فراهم شده از شرکت طب وران) برای کشت اضافه شده و پلیت‌های کشت برای انکوباسیون در انکوباتور  $CO_2$  (در شرایط  $CO_2$  پنج درصد، دمای ۳۷ درجه‌ی سانتی گراد و رطوبت بیشتر از ۹۰ درصد) قرار می‌گرفتند. سی عدد از نمونه‌ها (۱۰ عدد از هر گونه آکریل)، پس از گذشت یک ساعت (برای بررسی اثرات

## یافته‌ها

در این پژوهش که برای مقایسه‌ی سمتی سلولی آکریل‌های خودسخت شونده‌ی ایرانی و خارجی و اثر آنها بر القای تولید (IL-6) به وسیله‌ی فیبروبلاست‌های L9-929 موش بر روی سه گونه آکریل خودسخت شونده، Trim (پلی وینیل اتیل متاکریلات)، Duralay (متیل متاکریلات) و Acropars (متیل متاکریلات) انجام گرفت، اختلاف آماری معنادار از نظر سازگاری بافتی در میان سه آکریل مورد بررسی مشاهده شد، که این اختلاف در هر سه زمان موردنظر (یک ساعت، ۲۴ ساعت و هفت روز) وجود داشت، ولی به لحاظ تولید IL-6، تفاوت معنادار آماری در میان این سه آکریل دیده نشد. شاخص‌های توصیفی مربوط به جذب نوری یا Optical Density (OD) در زمان‌های گوناگون در جدول ۱ آورده شده است.

اتریش فراهم شده از شرکت نیماپویش طب عمل شد. گفتنی است که، در این باره هم، به هر یک از نمونه‌ها رمز داده شد، تا نه عمل کننده و نه مشاهده کننده، هیچ یک اطلاعی از ماهیت دقیق نمونه‌ها نداشته باشند، تا به‌این‌وسیله، از تورش (bias) پرهیز شود. برای واکاوی داده‌ها، افزون بر استفاده از شاخص‌های آماری توصیفی، مانند میانگین و انحراف معیار، با توجه به کمی بودن متغیر وابسته و به دلیل برقراری شرایط استفاده از آزمون‌های پارامتری، از واکاوی واریانس دوسری (two way ANOVA) استفاده شد. بعلاوه در مواردی از مقایسه‌های چندگانه (multiple comparison) استفاده گردید. در واکاوی نتایج سنجش سایتوکاین (IL-6)، با توجه به برقرار نشدن فرض طبیعی بودن داده‌ها، از روش‌های غیرپارامتری، مانند کروسکال والیس (Kruskal wallis) و مان‌ویتی (Mann Whitney U) استفاده گردید. برای واکاوی داده‌ها از نرم‌افزار SPSS و برای ترسیم نمودارها از نرم‌افزار Excel بهره جسته شد.

جدول ۱: شاخص‌های آماری توصیفی مربوط به جذب نوری (سازگاری بافتی) برپایه‌ی گونه‌ی آکریل در سه زمان مورد بررسی

گونه‌ی آکریل	میانگین	شمار	انحراف معیار	بیشترین
Trim (Trim)	۰/۱۸۵۱	۳۰	۰/۰۸۲۱۴۳۸	۰/۰۷۵
Duralay (Duralay)	۰/۱۶۹۱	۳۰	۰/۰۷۵۶۰۷۱	۰/۰۷۲
Acropars (Acropars)	۰/۱۴۷۵۴۳	۳۰	۰/۰۵۸۹۵۹۸	۰/۰۶۵
جمع	۰/۱۶۷۲۴۴	۹۰	۰/۰۷۳۷۱۳۱	۰/۰۶۵

جدول ۲: جدول واکاوی واریانس از نظر وابستگی سازگاری بافتی به گونه‌ی آکریل و زمان

P<	میانگین مجددات	نتیجه‌ی آزمون (F)	درجه‌ی آزادی (df)	جمع مجددات	زمان
۰/۰۰۰	۲۰۲/۸۸۶	۰/۱۹۱	۲	۰/۳۸۲	
۰/۰۰۰	۱۱۳/۱۹	۰/۰۱۱	۲	۰/۰۲۱	گونه‌ی آکریل

جدول ۳: مقایسه‌ی میانگین جذب نوری (سازگاری بافتی) در میان دو به دوی زمان‌ها

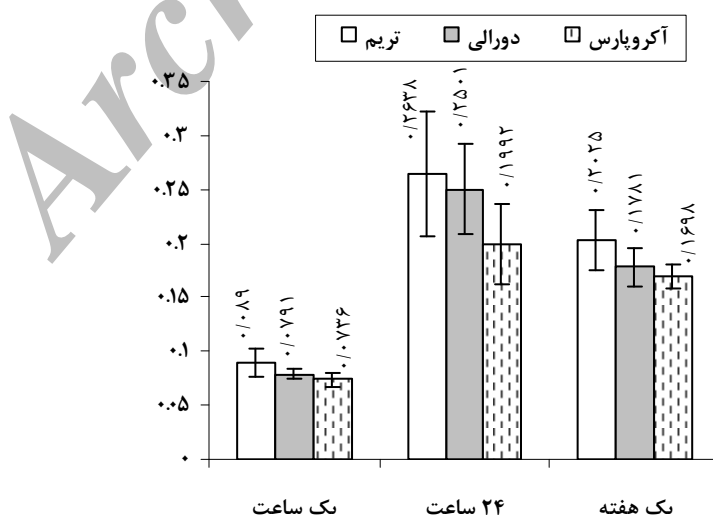
P<	اشتباه معیار	اختلاف میانگین	زمان (۱)	زمان (۲)
۰/۰۰۰	۰/۰۰۷۹۲۴۳	۰/۱۵۷۱۳۳	۱ ساعت	۲۴ ساعت
۰/۰۰۰	۰/۰۰۷۹۲۴۳	۰/۰۵۴۲۳۳	۱ هفته	۲۴ ساعت
۰/۰۰۰	۰/۰۰۷۹۲۴۳	۰/۱۰۲۹	۱ هفته	۱ ساعت

با توجه به متفاوت بودن سمتیت در سه ماده، برای بررسی وضعیت یکسان بودن سمتیت در جفت مواد، از روش LSD استفاده گردید. با توجه به جدول ۴، میان آکریل‌های تریم و دورالی با  $p < 0.05$  اختلاف معنادار آماری وجود دارد. همچنین، میان آکریل‌های دورالی و آکروپارس با  $p < 0.01$ ، و میان آکریل‌های تریم و آکروپارس با  $p < 0.001$ ، اختلافی معنادار آماری وجود دارد. به گونه‌ای، که تریم، بیشترین سازگاری بافتی را دارد و دورالی، در جایگاه دوم قرار گرفته و سرانجام، کمترین سازگاری بافتی در آکروپارس مشاهده می‌شود.

شاخص‌های آماری توصیفی مربوط به غلظت IL-6 برپایه‌ی گونه‌ی آکریل در جدول ۵ و مقایسه‌ی غلظت IL-6 میان سه گونه آکریل در جدول ۶ آورده شده است. برای بررسی رابطه‌ی میان IL-6 و گونه‌ی آکریل، با توجه به برقرار شدن فرض طبیعی بودن داده‌های مربوط به IL-6، از روش ناپارامتری کروسکال-والیس استفاده گردید و تفاوت معنادار آماری در میان این سه آکریل از جهت تولید IL-6 مشاهده نگردید ( $p = 0.12$ ). به سخن دیگر، سه آکریل مورد بررسی، میزان متفاوتی از IL-6 را تولیدنمی‌کنند.

با توجه به کمی بودن متغیر وابسته سمتیت سلولی و وجود دو متغیر جداگانه‌ی کیفی و برقراری شرایط استفاده، مانند طبیعی بودن داده‌ها و برابری واریانس‌ها، (Two way ANOVA) استفاده گردید، که اثر دوسویه‌ی معنادار میان دو متغیر جداگانه، زمان و گونه‌ی آکریل دیده شد (جدول ۲). به سخنی دیگر، اثر سمتیت مواد گوناگون روندی یکسان را در طول زمان نشان می‌دهد. جدول واکاوی واریانس بالا نشان می‌دهد، که میزان سازگاری بافتی (جذب نوری) هم به زمان و هم به گونه‌ی آکریل بستگی دارد (در هر دو مورد مقدار  $p < 0.001$ ). مناسب بودن واکاوی بالا با توجه به این که، مقدار  $R^2$  الگو، برابر ۰.۸۳۴ است، تایید می‌گردد. به دلیل این که، میزان سمتیت سلولی مقادیر متفاوتی را در سه زمان نشان می‌دهد، برای مقایسه‌ی زوجی آن در زمان‌های گوناگون، از روش مقایسه‌ی least square difference(LSD) استفاده شد (جدول ۳).

با توجه به جدول ۳، در مقایسه‌ی زوجی همه‌ی زمان‌ها با  $p < 0.001$  اختلافی معنادار وجود دارد. به گونه‌ای، که در ۲۴ ساعت، کمترین سمتیت سپس، در یک هفته و سرانجام، بیشترین سمتیت سلولی را در یک ساعت داریم (نمودار ۱).



نمودار ۱: میانگین جذب نوری برپایه‌ی زمان و گونه‌ی آکریل

جدول ۴: مقایسه میانگین جذب نوری (سازگاری بافتی) در میان دو به دو آکریل‌ها

P<	اختلاف میانگین	آکریل (۲)	آکریل (۱)
.۰/۰۴۷	.۰/۰۰۷۹۲۴۳	.۰/۰۱۶	دورالی
.۰/۰۰۸	.۰/۰۰۷۹۲۴۳	.۰/۰۲۱۵۶۷	آکروپارس
.۰/۰۰۰	.۰/۰۰۷۹۲۴۳	.۰/۰۳۷۵۶۷	آکروپارس

جدول ۵: شاخص‌های آماری توصیفی مربوط به غلظت ۶-IL برپایه میانگین آکریل مجاور شده

آکریل	میانگین	شمار	انحراف معیار	کمترین	بیشترین
تریم	.۰/۴۷	۱۰	.۰/۲۱۰۷۳۰	.۰/۲۸	.۰/۸۷۱
دورالی	.۰/۳۵۷	۱۰	.۰/۰۶۸۵۰۸	.۰/۳۱۳	.۰/۵۲۷
آکروپارس	.۰/۴۵۶۲	۱۰	.۰/۰۸۵۰۵۱	.۰/۳۰۷	.۰/۵۸۴
جمع	.۰/۴۲۷۹	۳۰	.۰/۱۴۱۷۰۲	.۰/۲۸	.۰/۸۷۱

جدول ۶: مقایسه میانگین جذب نوری (سازگاری بافتی) در میان سه گونه آکریل مورد بررسی

گروه‌ها		تعداد	میانگین رتبه
تریم	۱۰	۱۶/۰۵	
دورالی	۱۰	۱۱/۲۰	
آکروپارس	۱۰	۱۹/۲۵	
کل	۳۰		

نتیجه‌ی آزمون			
مجدول کای	df	P	
۴/۲۴۲	۲	.۰/۱۲	

سلول‌ها در ساعت نخست مربوط می‌شود. به سخن دیگر، فیبروبلاست در ساعت‌های آغازین کشت، می‌باشد با محیط همخوانی پیدا کند. کمترین میزان سمیت سلولی، به زمان ۲۴ ساعت مربوط بود. آدامز و همکاران (۱۹۹۴) اظهار داشتند، که اگر سلول‌ها بیشتر از ۲۴ ساعت در برابر کامپوزیت رزین‌ها قرار بگیرند، سمیت سلولی شدیدتر نشان می‌دهند<sup>(۱۰)</sup>. همان‌گونه، که مشخص است، میزان بررسی کنونی و پژوهش یاد شده همچنانی هست، زیرا در بررسی کنونی دریافت شده، که میزان سمیت سلولی آکریل‌های مورد بررسی در ۲۴ ساعت به گونه‌ای چشمگیر کمتر از زمان یک

## بحث

در این پژوهش به اختلاف آماری معنادار از نظر سازگاری بافتی در میان سه آکریل مورد بررسی برخورد شد ( $p < 0.001$ )، که این اختلاف، حتی در میان زمان‌های گوناگون نیز، مشاهده گردید ( $p < 0.001$ ، به گونه‌ای، که بهترین میزان سازگاری بافتی در هر سه زمان مورد بررسی، به آکریل تریم مربوط بود و پس از آن، دورالی در جایگاه دوم و آکروپارس، از نظر سمیت سلولی در هر سه زمان مورد بررسی، در بالاترین میزان بود. در یک ساعت نخست، میزان سمیت سلولی بالاتر از زمان ۲۴ ساعت بود، که علت این امر، به شرایط کشت

آکریل به آسانی در برابر لیگامان پریودنتال و بافت همبند لثه قرار خواهد گرفت.

لی (Lai) و همکاران (۲۰۰۴) با بررسی اثرات سمیت مایع رزین بر فیبروبلاست‌های لثه‌ی انسان و سلول‌های لیگامان پریودنتال، متوجه شدند که مایع رزین‌های دارای متیل متاکریلات (MMA)، ایزوپوتیل متاکریلات (IBMA) و هگزاندیول دی متاکریلات (HDMA) هر سه، دارای اثرات سمیت به صورت وابسته به اندازه (dose) هستند. البته، بیان کرده‌اند، که اثر (HDMA) در این میان به مرتبه بیشتر از (MMA) است (۴۳). میان نتایج بررسی کنونی و بررسی بالا، مغایرتی وجود ندارد، که پژوهشگران بررسی کنونی نیز، در بررسی خود متوجه‌ی اثرات سمیت آکریل‌های خودسخت شونده‌ی دارای (MMA) بر روی فیبروبلاست‌های رده‌ی L929 موش شدند. در این پژوهش، به بررسی اثرات آکریل‌های دارای (IBMA)، (HDMA) پرداخته نشد، اما در برابر، به بررسی آثار سمیت یک آکریل دارای ونیل اتیل متاکریلات (VEM) پرداخته شد، که اثرات آن کمتر از (MMA) بود.

در پژوهش کنونی به بررسی میزان IL-6 تولید شده از فیبروبلاست‌های رده‌ی L929 موش، به دنبال اثر آکریل‌های مورد بررسی نیز پرداخته شد، که با وجود آن که، غلظت IL-6 در مایع رویی کشت مربوط به آکریل تریم بیشتر از دیگران و در دورالی کمتر از دیگران بود، اما این اختلاف از نظر آماری معنادار نبود. مatariz (۲۰۰۶) افراش آشکار-IL در فیبروبلاست‌های انسانی مجاور شده با آلیاژهای دندانپزشکی را گزارش کردند (۴۵). متأسفانه، در جست و جوی مقالات، به پژوهشی که به بررسی اثر آکریل‌ها بر روی تولید IL-6 پرداخته باشد، برخورد نشد. اما درباره‌ی IL-1 $\beta$ ، محرم‌زاده و همکاران (۲۰۰۶) گزارش کردند، که مونومر رزین‌ها بی‌هرگونه اثر تحریکی بر روی فیبروبلاست‌های لثه‌ی انسان و کراتینوسیت‌های HaCaT برای القای IL-1 $\beta$  بودند، اما همگی بر روی سلول‌های مزبور اثر سمیت داشتند (۴۶). در بررسی کنونی نیز، به اثرات

هفتة است، که علت این امر، می‌تواند به افزایش میزان فراورده‌های آزاد شده از آکریل‌ها با گذشت زمان مربوط باشد (نمودار ۲).

هوانگ (Huang) و همکاران (۲۰۰۱) گزارش کردند، که سمیت سلولی آکریل‌های خودسخت شونده بر روی سلول‌های اپی‌تیال دهان رده‌ی CCL-17 و فیبروبلاست‌های بافت گونه‌ی انسان به مراتب بالاتر از آکریل‌های سخت‌شونده با نور و گرما سخت است. این پژوهشگران بیان کردند، که بیشترین میزان سمیت سلولی در ۲۴ ساعت نخست است و پس از آن، تا روز پنجم کاهش می‌یابد (۱۳). علت تفاوت میان بررسی یاد شده و کنونی در زمینه‌ی افزایش اثرات سمیت پس از ۲۴ ساعت، شاید به تفاوت در گونه‌ی سلول‌های مورد بررسی مربوط باشد. زیرا، در بررسی بالا، بر روی سلول‌های اپی‌تیال انسانی اقدام شده و درباره‌ی فیبروبلاست‌ها به بررسی آنها در بافت گونه‌ی انسان پرداخته شده است، در حالی که پژوهش کنونی، به بررسی سلول‌های فیبروبلاست رده‌ی L929 موش پرداخته شده، که این امر می‌تواند باعث اختلاف در نتایج شود، ضمن آن که، این پژوهشگران به بررسی سمیت سلولی در ساعت نخست نپرداختند، اما در پژوهش کنونی با بررسی سلول‌ها در ساعت نخست دریافت شد، که کمترین میزان فعالیت سلول‌ها به این زمان مربوط است و آن را به شرایط کشت و آماده شدن فیبروبلاست‌ها برای همخوانی با شرایط کشت می‌توان نسبت داد. شاید این پژوهشگران نیز، که بیان کرده‌اند، که کمترین میزان زندگی سلول‌ها به این ساعت نخست مربوط است، زمان لازم برای همخوانی سلول‌ها را در نظر نگرفته‌اند.

فیبروبلاست، سلول اصلی موجود در لیگامان پریودنتال است و از آنجا که، لبه‌ی روکش‌های آکریلی با فاصله‌ای در مجاورت اپی‌تیلوم چسبنده هستند، این اپی‌تیلوم حتی در صورت نبود ۱۰۰ درصد التهاب، که از لحاظ علمی تقریباً کمیاب است، به عوامل یا مولکول‌های با وزن مولکولی کمتر از ۱۰۰ کیلو Dalton اجازه‌ی گذشتن می‌دهد. بنابراین، عوامل آزاد شده از

درباره‌ی ترمیم دیده شد، که دارای وینیل اتیل متاکریلات است. بنابراین، تنها بر این پایه شاید بتوان ترمیم را بهتر از دیگران دانست. اما درباره‌ی القای ترمیم ۶-IL، به عنوان یک سایتوکاین مهم التهابی، هیچ تفاوتی میان سه آکریل مورد بررسی دیده نشد.

با توجه به موارد بالا، درست است، که از نظر اثرات سمیت سلولی، ترمیم بهتر از دورالی و آکروپارس بود، ولی توجه به این امر به تنها ی کافی نیست و ضمن نگرش به ویژگی‌های فیزیکی این مواد، به انجام بررسی‌های بیشتر در زمینه‌ی سازگاری زیستی این آکریل‌ها در راستای انتخاب بهترین آکریل نیاز است.

### سپاسگزاری

به این وسیله مراتب سپاس خود را از مرکز تحقیقات دانشکده‌ی دندانپزشکی، دانشگاه علوم پزشکی شهید بهشتی برای پشتیبانی مالی، از جناب آقای دکتر علیرضا اکبرزاده، برای نظارت و اجرای واکاوی آماری، آقای حسن دریندی تمیجانی، به لحاظ همکاری در انجام مراحل آزمایشگاهی پژوهش و آقای حمید فرهادی در تنظیم مقاله ابراز می‌دارند.

سمیت آکریل‌ها برخورد و ملاحظه شد، که آکریل‌ها به القای تولید ۶-IL قادر می‌باشند. البته، گفتنی است، که میزان تولید ۶-IL در اندازه‌ای پایین بود، ضمن آن که، در بررسی بالا بر روی سایتوکاینی متفاوت از بررسی کنونی مطالعه شده است.

شاسن (Shausen) و همکاران (۱۹۹۹) متوجه شدند، که اختلافی از نظر اثر شش ماده با پایه‌ی رزین بر روی تولید پروستاگلاندین<sub>۲</sub> E<sub>۲</sub> از فیبروبلاست‌های لشه‌ی انسان وجود ندارد<sup>(۱۴)</sup>. همان‌گونه که، روش‌ن است، با وجود آن که، در بررسی یاد شده بر روی یک مدیاتور التهابی دیگر جز ۶-IL بررسی شده، اما نتایج آنها با یافته‌های بررسی کنونی از نظر القای تولید یک مدیاتور التهابی همخوانی دارد.

### نتیجه‌گیری

برپایه‌ی یافته‌های این بررسی چنین نتیجه‌گیری می‌شود، که آکریل‌های دارای متیل متاکریلات (دورالی و آکروپارس) اثرات سمیت بیشتر را بر روی فیبروبلاست‌ها به جا می‌گذارند، که البته، اثر سمی آکروپارس به مراتب بیشتر از دورالی بود. کمترین اثر

\*\*\*\*\*

### References

- Rosentiel SF, Land MF, Fujimoto J. Contemporary Fixed Prosthodontics. 13th ed. St Louis: Mosby; 2001. p. 380-381.
- Powers JM, Sakaguchi RL. CRAIG'S Restorative Dental Materials. 12th ed. Philadelphia: Mosby. Elsevier; 2006. p. 513-555.
- Shillinberg H, Hobo S, Witselt LD, Jacobi R, Brakett SE. Fundamental of fixed Prosthodontics. 13th ed. Chicago: Quintessence Publishing Com; 1997. p. 380-394.
- Grossman LI. Pulp reaction to the insertion of self Curing acrylic resin filling materials. J Am Dent Assoc 1953; 46: 265-269.
- Kramer IRH, Mclean JW. Response of the human pulp to self-polymerizing acrylic restorations. Br Dent J 1952; 92: 255-261.281-297.311-315. (Part I, II, III).
- Langeland K, Langeland L. Pulp reaction to crown preparation, impression, temporary crown fixation and permanent cementation J Prosthet Dent 1965; 5: 129-143.
- Moulding MB, Teplitsky PE. Intrapulpal temperature during direct fabrication of provisional restorations. Int J Prosthodont. 1990; 3: 299-304.

8. Tjan AH, Grant BE, Godfrey MF. Temperature rise in the pulp chamber during fabrication of provisional crowns. *J Prosthet Dent* 1989; 62: 622-626.
9. Zach L, Cohen G: pulpal response to externally applied heat. *Oral Surg* 1965; 19:515-30.
10. Adams AM, Soames JV, Shearle RE. Cytotoxicity studies of dental restorative materials using human periodontal ligament cells in vitro. *Int Endod J* 1994; 27: 171-177.
11. Lefebvre CA, Schuster GS. Biocompatibility of visible Light-cured resin systems in prosthodontics. *J Prosthet Dent* 1994; 7: 178-185.
12. Kostoryz EL, Tong PY, Chappelow CC, Eick JD, Glaros AG, Yourtee DM. In vitro cytotoxicity of solid epoxy- based dental resins and their components. *Dent Mat* 1999; 15: 363-373.
13. Huang FM, Tai KW, HU CC, Chang YC. Cytotoxic effects of denture base materials on a permanent human oral epithelial cell line and on primary human oral fibroblast in vitro. *Int J Prosthodont* 2001; 14: 439-443.
14. Wilier Shausen B, Schafer D, Pistorius A Schuize R, Mann W. Influence of resin-based restoration materials on cytotoxicity in gingival fibroblasts [Abstract]. *Eur J Med Res* 1999;27: 149-155.
15. Wan Q, Rumpf D, Schricker SR, Marioti A, Culbertson BM. influence of hyper branched multi-methacrylates for dental neat resin on proliferation of human gingival fibroblasts. *Bio-macromolecules J* 2001; 2: 217-222.
16. Liu J, Wan L, LUX, Lis, Zhang J, Cheg J. Visualizing Living fibroblast on co-cultured denture base resin by green fluorescent protein marker introduced into the cell [Abstract]. *Sheng WU Yi Xue Gong Ching Xue Za Zhi* 2004; 21: 355-358.
17. Phillips RW. Skinner's science of dental materials. 9th ed. Philadelphia: WB Saunders Com; 1991. p.188-193.
18. Zarb GA, Bolender CL. Prosthodontic treatment for edentulous patient. 12th ed. St. Louis: Mosby; 2004. p. 190-210.
19. Ruyter IE, Oysaed H. Conversion in denture base polymers. *J Biomed Mater Res* 1982; 16: 741-754.
20. Vallitu PK, Ruyter IE, Buy Kuilmazs. Effect of polymerization Temperature and Time on the residual monomer content of denture base polymers. *Eur J Oral sci* 1998; 106: 588-593.
21. Kalipcilar B, Karaagaelioglu L, Hasanreisoglu U. Evaluation of the level of residual monomer in acrylic denture base materials having different polymerization properties. *J Oral Rehabil* 1991; 18: 399-401.
22. Austin AT, Basker RM. The level of residual monomer in acrylic denture base material with a particular reference to a modified method of Analysis. *Br Dent J* 1980; 149: 281-286.
23. Baker S, Brooks SC, Waliker DM. The residual monomeric methacrylate from acrylic appliances in the human mouth: An assay for monomer in saliva. *J Dent Res* 1988; 67: 1295-1299.
24. Huang FM, HU CC, Chang YC, Chou MY. The level of Monomer release from acrylic denture base materials into water. *Chin Dent J* 2000; 19: 17-22.
25. Vallitu PK. The effect of surface Treatment of denture acrylic resin on the residual monomer content and its release into water. *Acta odontol scand* 1996; 54: 188-192.
26. McCabe JF, Basker RM. Tissue Sensitivity to acrylic resin. *Br Dent J* 1976; 140: 347-350.

27. Kaaber S, Thulin H, Nielsen E. Skirt Sensitivity to denture base materials in the burning mouth syndrome. *Contact Derm* 1979; 5: 90-66.
28. Bahnen Kamp DM. Traumatic Stomatitis following an intraoral denture reline: A clinical Report. *J Prosthet Dent* 1996; 76: 113-114.
29. Fisher AA. Allergic Sensitization of the Skin and oral mucosa to acrylic resin denture materials. *J Prosthet Dent* 1959; 6: 593-596.
30. Stugris TE, Fink JN. Hypersensitivity to acrylic resin. *J Prosthet Dent* 1969; 22: 425-428.
31. Weaver RE, Goebel WM. Reactions to acrylic resin dental prostheses. *J Prosthet Dent* 1980; 43: 138-142.
32. Craig RG, Powers JM. Restorative Dental Materials. 11th ed. St. Louis: Mosby; 2002. p.125-162.
33. American National Standards Institute/American Dental Association Document no. 41 for recommended standard practices for biological evaluation of dental materials. Council on Dental Materials and Devices. *J Am Dent Assoc* 1979; 99: 697-698.
34. Hensten-Pettersen A. Skin and mucosal reactions associated with dental materials. *Eur J Oral Sci* 1998; 106: 707-712.
35. Hanks CT, Watcha JC, Sun ZL. In vitro modes of biocompatibility: a review. *Dent Mater* 1996; 12: 186-193.
36. Junquira Luiz Carlos. Basic histology. 10th ed. St. Louis: Mosby; 2003. p. 120-145.
37. Barile FA. In vitro cytotoxicity mechanism and methods. 1st ed. Boca Raton: CRC Press; 1994. p.125
38. Abbas A, Liehtman A. Cellular and molecular Immunology. 4th ed. Philadelphia: WB Saunders; 2000. p. 423-431.
39. Ruyter El. Release of formaldehyde from denture base polymers. *Acta Odontol Scand* 1980; 38: 17-27.
40. Hensten-Pettersen A, Wictorin L. The cytotoxic effect of denture base polymers. *Acta Odontol Scand* 1981; 39: 101-106.
41. Koda T, Tsuchiya H, Yamauchi M, Hoshino Y, Takagi N, Kawano J. High-performance liquid chromatographic estimation of eluates from denture base polymers. 1: *J Dent* 1989; 17: 84-89.
42. Koda T, Tsuchiya H, Yamauchi M, Ohtani S, Takagi N, Kawano J. Leachability of denture-base acrylic resins in artificial saliva. *Dent Mater* 1990; 6: 13-16.
43. Lai YL, Chen YT, Lee SY, Shieh TM, Hung SL. Cytotoxic effects of dental resin liquids on primary gingival fibroblasts and periodontal ligament cells in vitro [Abstract]. *J Oral Rehabil* 2004; 31: 1165-1172.
44. Moharamzadeh K, Van Noort R, Brook IM, Scutt AM. Cytotoxicity of resin monomers on human gingival fibroblasts and HaCaT keratinocytes. *Dent Mater* 2007; 23: 40-4.
45. Matarese G, Picerno I, Caccamo D, Spataro P, Cordasco G, Ientile R. Increased transglutaminase activity associated with IL-6 release in cultured human gingival fibroblasts exposed to dental cast alloys. *Amino Acids* 2006; 30: 267-271.

## Abstract

### Comparison of Cellular Toxicity of Iranian and Non-Iranian Self Cure Acryl and their Effects on Production of Mouse IL-6 by L929 Gingival Fibroblasts

**Mahshid M.<sup>\*</sup> - Sattari M.<sup>\*\*</sup> - Mehdizadeh Dastjerdi M.<sup>\*\*\*</sup>**

<sup>\*</sup> Associate Professor Department of Endodontics, School of University Dentistry, Shahid Beheshti University of Medical Sciences

<sup>\*\*</sup> Associate Professor, Department of Immunology, School of Medical Science, Shahid Beheshti University of Medical Sciences

<sup>\*\*\*</sup> Dentist

**Statement of problem:** Despite the various methods used to initiate the polymerization of resin, the conversion of monomers to polymers is not complete and some unreacted monomers are left in the polymer that is leachable into saliva. Substance leached from resin can cause adverse reactions in the oral mucosa adjacent to the denture.

**Aim:** The aim of this study was the comparison of cellular toxicity of Iranian and non Iranian self cure acryl on mouse L929 gingival fibroblasts.

**Materials and method:** Three types of acryl including Trim acryl (poly vinyl Ethyl Methacrylate), Duralay acryl (poly methyl Methacrylate) and Acropars acryl (poly methyl methacrylate) were used. A total of 90 rings (30 for each type) with predetermined sizes were prepared. Suspension of fibroblasts with acrylic rings was put in 24-wells culture plates and a culture media containing RPMI-1640 environment plus antibiotics and 10% FBS were added. The plates were incubated in the Co2 incubator and after one hour, 24 hours and seven days they were checked for cytotoxicity by MTT test and secretion of IL-6 by ELISA technique. Two-way ANOVA, Kruskal-wallis and Mann-Whitney U tests were used for data analysis.

**Results:** Significant differences were found in the biocompatibility of experimental acryl, Trim and Duralay ( $p<0.05$ ) Acropars and Duralay ( $p<0.01$ ) and Acropars and Trim ( $p<0.001$ ), among studied time intervals. No statistically significant difference was seen in the production of IL-6 among these acryl ( $p=0.120$ ). Least cytotoxicity was seen at interval of 24 hours with significant statistically difference between one hour and one week time intervals ( $p<0.001$ ).

**Conclusion:** This study showed that the acryl having methyl methacrylate (Acropars and duralay) have greater toxic effects on fibroblasts; although the toxic effects of Acropars were more than Duralay. The least cytotoxicity was seen in Trim which has vinylethyl methacrylate. There was no difference among studied acryl on induction of IL-6.

**Key words:** Cellular toxicity, Self-cure acryl, IL-6 production, Gingival fibroblasts (L-929)